



# Conception d'un modèle de simulation de systèmes multi-agent, et de son algorithmique et implantation parallèle sur architectures MIMD à mémoire partagée

**Eugen Dedu**

SUPÉLEC, PRISM UVSQ  
Eugen.Dedu@prism.uvsq.fr  
le 8 mars 2002



Centre  
Charles Hermite

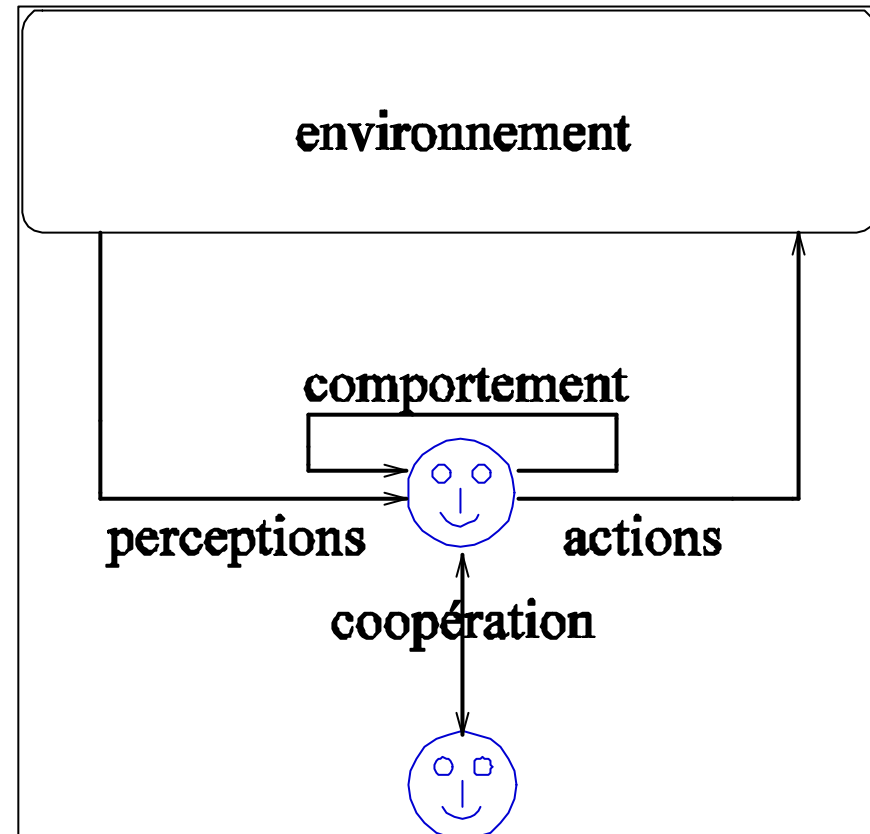


# Plan & Contributions de la thèse

- Introduction
- 1. Nouveau **modèle** de simulation des SMA
- 2. **Algorithmique parallèle** du modèle
  - 2.0 Parallélisme dans l'implantation
  - 2.1 Percept de la vision
  - 2.2 Percept de la détection des potentiels
- 3. **Implantation parallèle** portable du modèle (bibliothèque)
  - exemple avec performances à l'exécution
- Conclusions

# Introduction : systèmes multi-agent

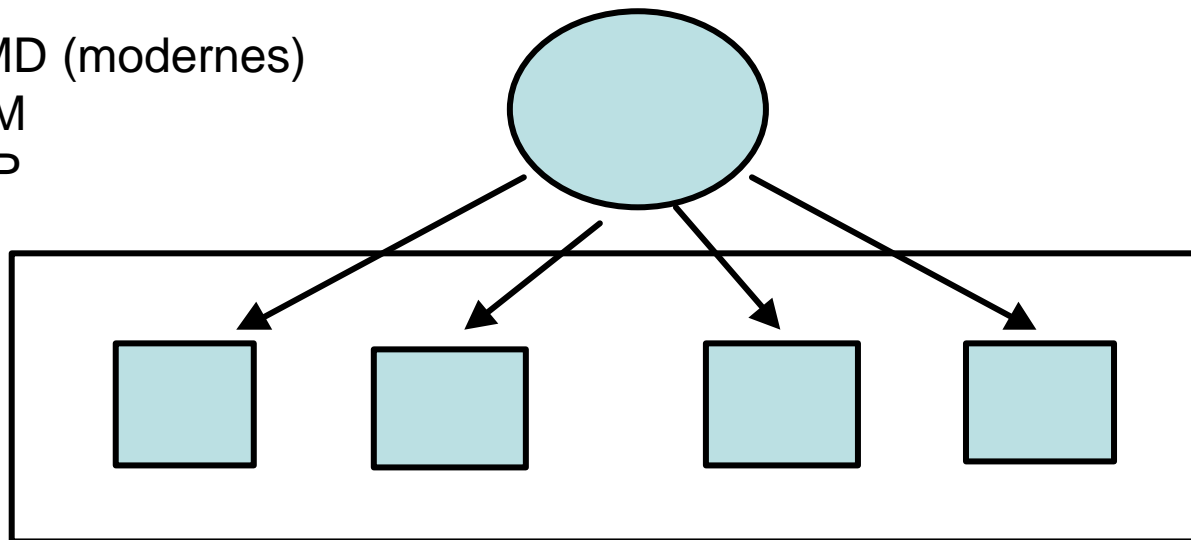
- Agent :
  - entité autonome
  - a un but
  - vit dans un environnement
  - communique avec l'environnement
  - agents situés
- Domaines d'applications :
  - société : populations urbaines, trafic routier
  - biologie, étude des comportements : populations de fourmis, d'oiseaux
- Jacques Ferber (pionnier)



# Introduction : parallélisme

Pour nous : exécution d'une application sur plusieurs processeurs  
(accélération)

- MIMD (modernes)
- DSM
- MVP



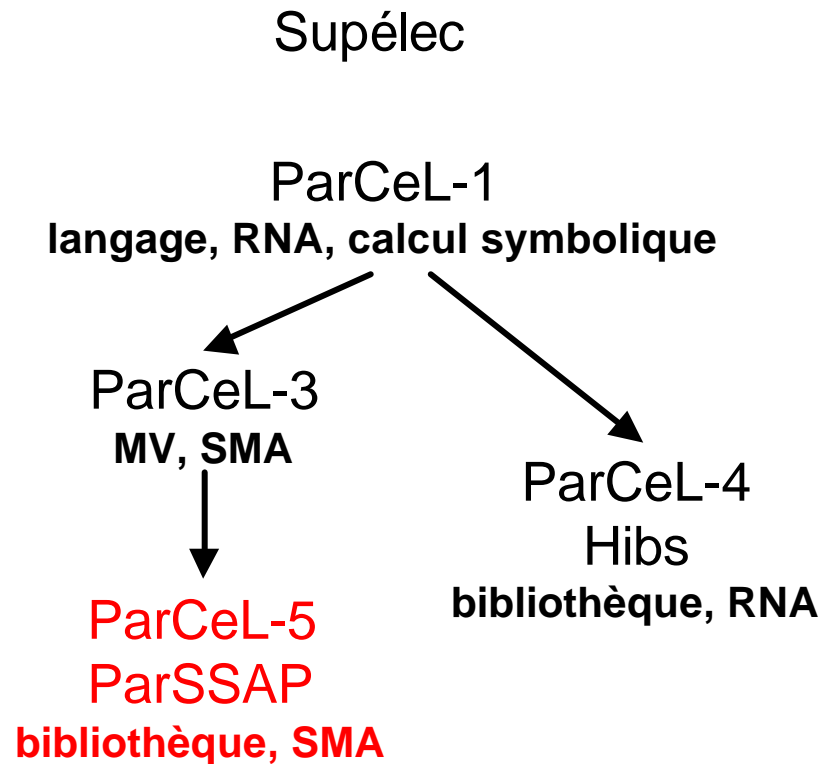
Application

Exemple :  
Ordinateur à  
4 processeurs

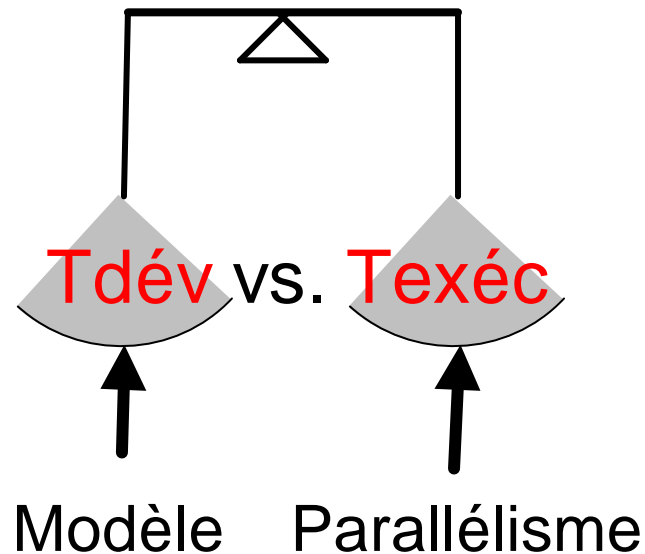
- Origin 2000, 64 processeurs, 4 Mo cache, 24 Go mémoire
- Sun 450, 4 processeurs, 4 Mo cache, 1 Go mémoire
- IA-64 Itanium SMP, 4 processeurs
- PCs SMP bon marché

- OpenMP
- multi-threading
- envoi de messages
- multi-processus

# Motivations



- comportement des agents
- diverses fonctionnalités
- gestion de l'environnement
- gestion de la simultanéité
- gestion des structures des entités



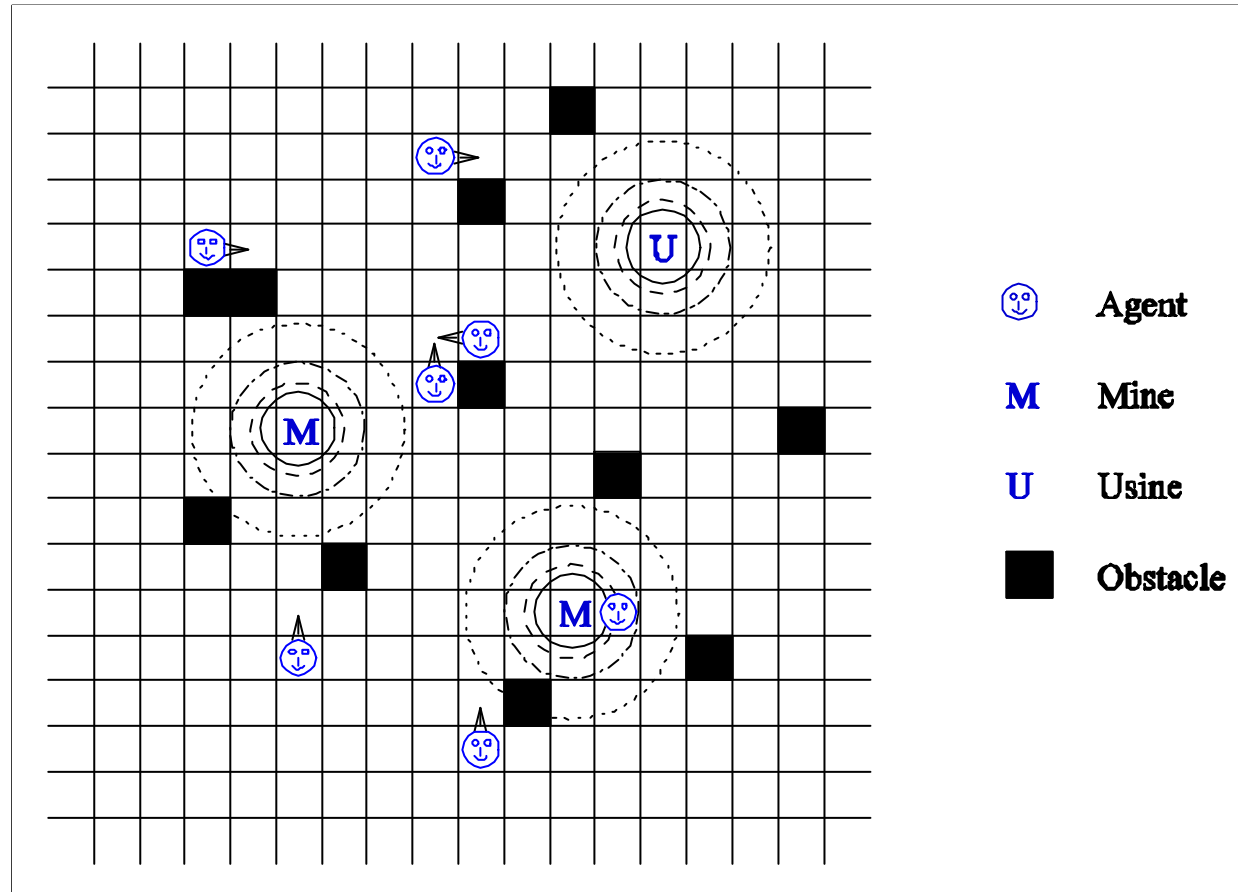
# Exemples de simulateurs de SMA

- Pengi [Ferber et al., 1991]
  - **simple**
  - **séquentiel**
- BioLand [Werner & Dyer, 1994]
  - **massivement parallèle, beaucoup d'agents**
  - **application riche en fonctionnalités**
    - réseaux de neurones
  - **sans obstacles => algorithmique plus simple**
  - **peu flexible**
  - **machines SIMD (CM-2)**
- PIOMAS [Bouzid, 2001]
  - **parallèle, basé sur ParCeL-3**
  - **précis, modélisation des incertitudes dans perceptions et actions**
  - **peu d'agents**

# 1. Modèle : exemple

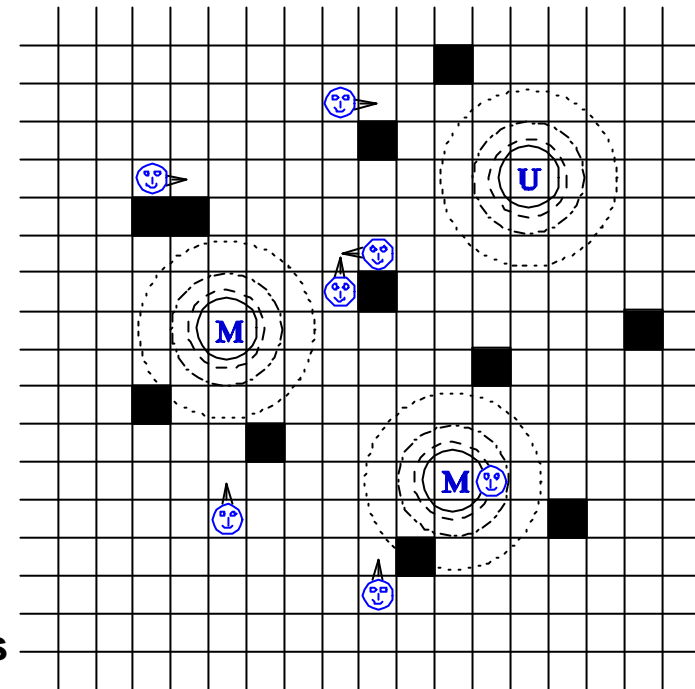
ParSSAP (Parallel Simulator of Situated Agent Populations)

- environnement
- ressources
- agents
- arbitre



# 1. Modèle : généralités

- Environnement
  - discret
  - obstacles
- Ressources
  - propagent des potentiels décroissants
  - contiennent des objets
  - champs dynamiques de potentiel
  - plusieurs types
- Agents
  - entités mobiles
  - comportement
  - mémoire
  - perceptions locales : vision, odeur
  - actions : mouvement, dépôt/preise d'objets
  - création et destruction dynamique
- Arbitre (virtuel)
  - loi du système
  - résout les conflits spatiaux entre les agents



Sauvegardes

- statistiques
- mouvement des agents

Unification des entités => travaux futurs

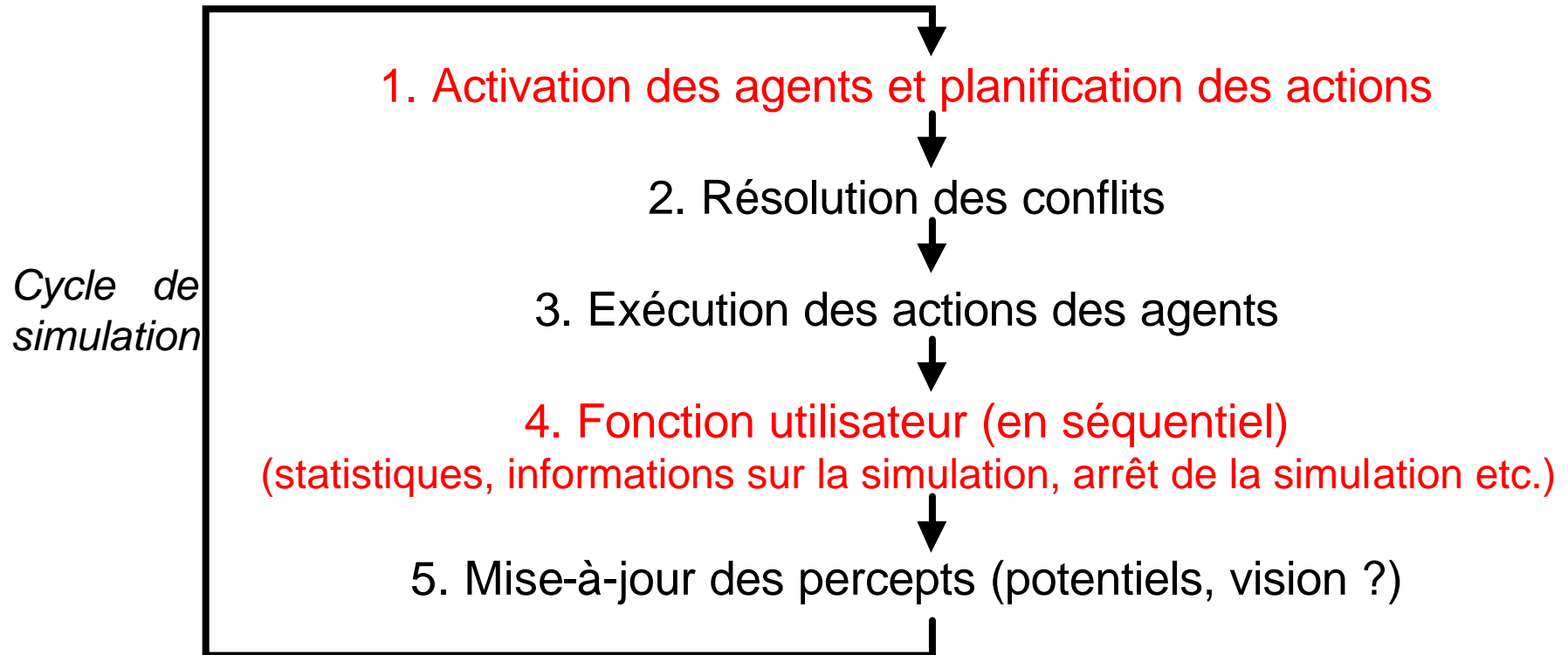
Tous les principes existent pour augmenter la généricité

Eugen Dedu, 8 mars 2002



# 1. Modèle : moteur d'exécution

- Basé sur une discrétisation du temps
- Macroscopiquement synchrone



## 2.0 Algorithmique parallèle : parallélisme dans l'implantation

- Parallélisme interne, mais **caché** à l'utilisateur
- Décomposition en domaines
- Aucune surcharge due au parallélisme, sauf :
  - fonction utilisateur (en séquentiel)  $\leq$  transparence au parallélisme
  - gestion des frontières  $\leq$  intrinsèque au parallélisme
  - déséquilibre de charge  $\Rightarrow$  travaux futurs
- Langage C, threads POSIX et Irix, fonctionne aussi sur mono-  
processeur
- Mécanismes de génération de nombres aléatoires ad hoc  $\Rightarrow$   
**reproductibilité** complète des simulations, même avec nombre  
différent de processeurs
  - une racine globale et des racines temporaires
  - pas de surcharge de mémoire

## 2. Algorithmique parallèle des percepts des agents

- 2.1 Percept de la vision

**But : création des champs de visibilité**

- les cases qu'un agent peut voir
- rayon de vision
- empêché par les obstacles, perception lointaine

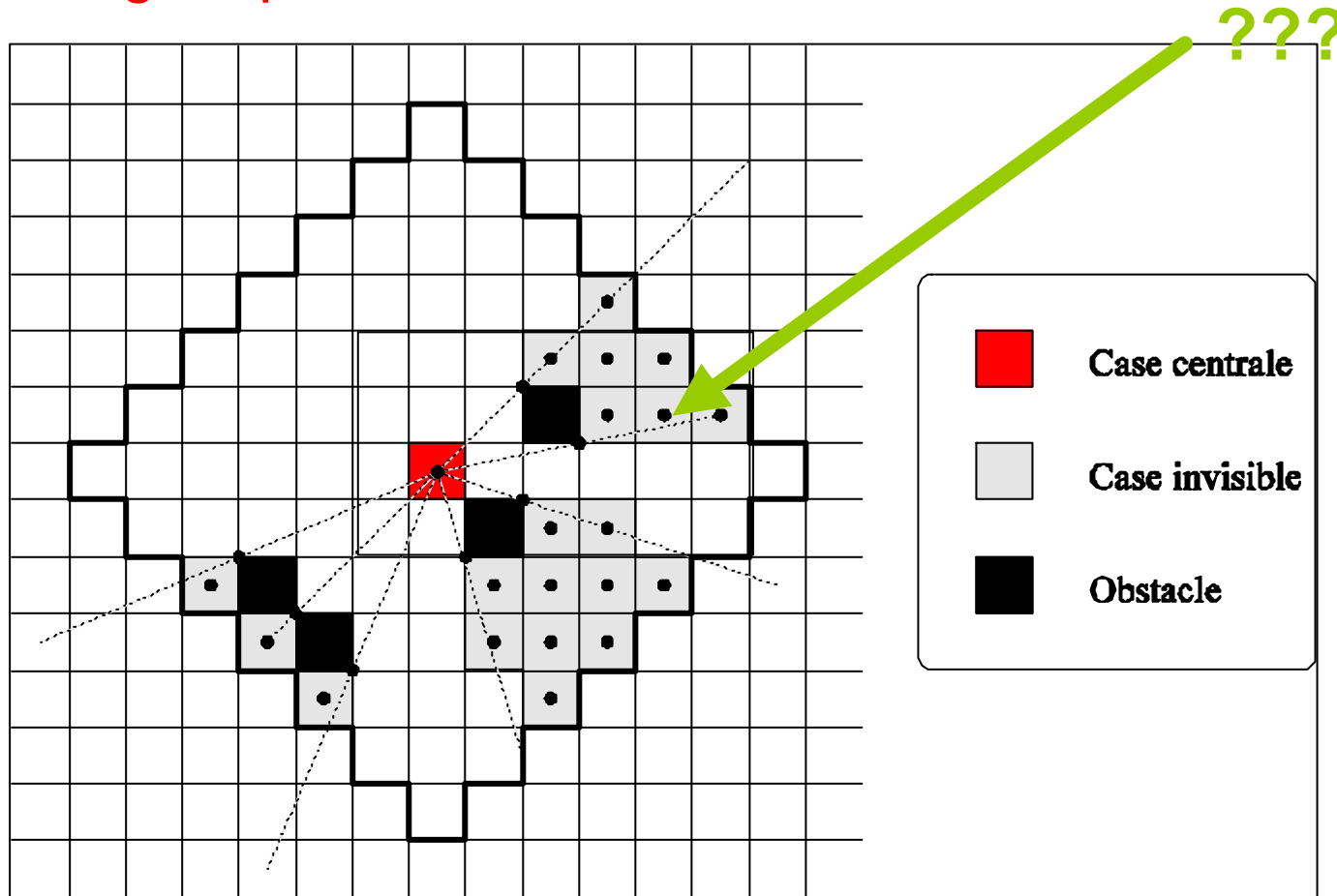
- 2.2 Percept de la détection des potentiels

**But : création des champs de potentiel** générés par les ressources

- début : le potentiel de la ressource
- propagation par vagues
- contourne les obstacles, perception de proximité seulement

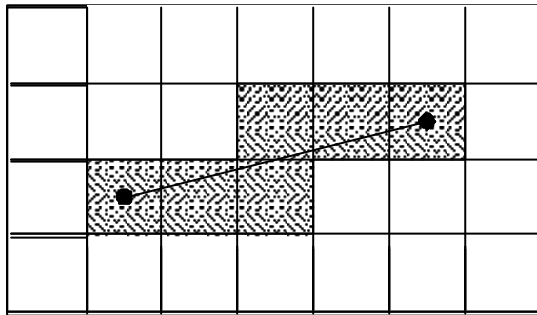
# 2.1 Vision : exemple de champ

Ce qu'un agent peut voir



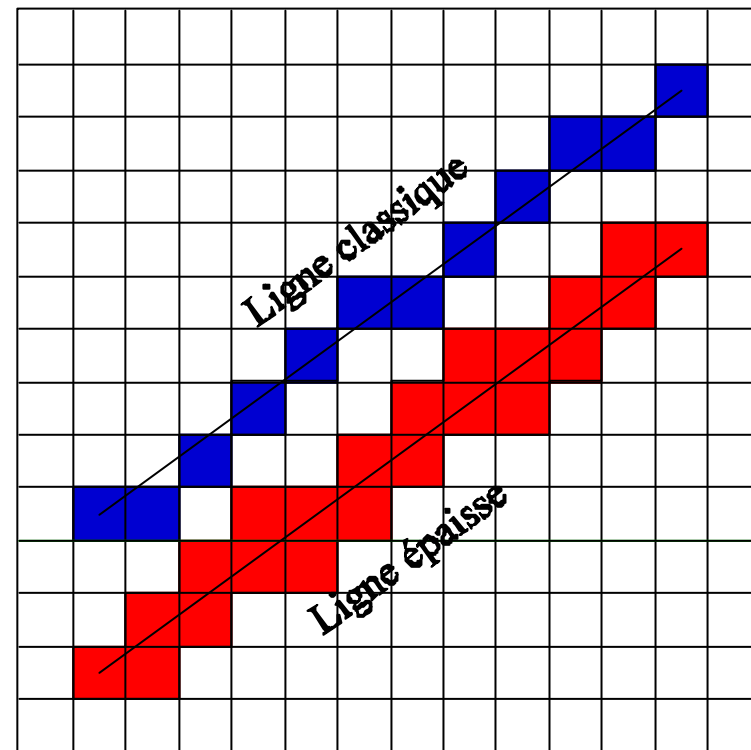
Eugen Dedu, 8 mars 2002

## 2.1 Vision : nouvel algorithme de lignes épaisses



ligne classique : ne considère pas l'obstacle  
ligne épaisse : considère l'obstacle

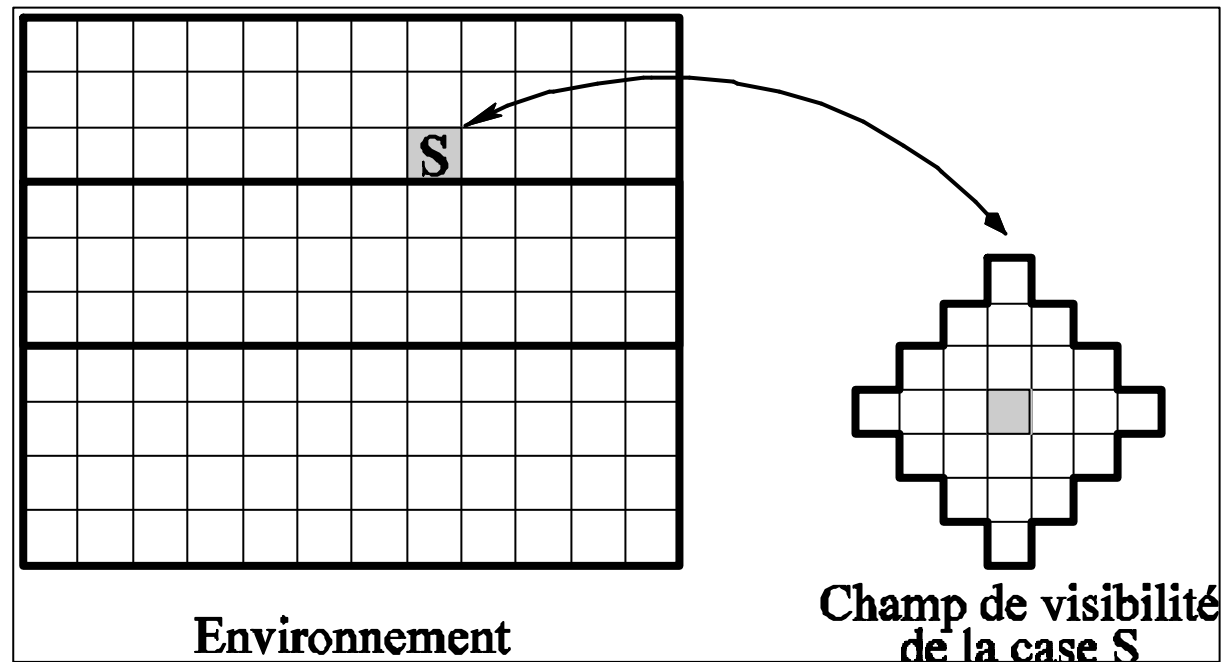
- **TOUS** les points que la ligne idéale intersecte
- basé sur l'algorithme de Bresenham
- prend en compte l'erreur précédente



## 2.1 Vision : parallélisme

- Calculer les champs de visibilité de chaque case
  - Lecture de la matrice des obstacles
  - Écriture dans la matrice de visibilité

Calcul identique  
pour toute case  
=> parallélisation  
par **décomposition**  
**en domaines**



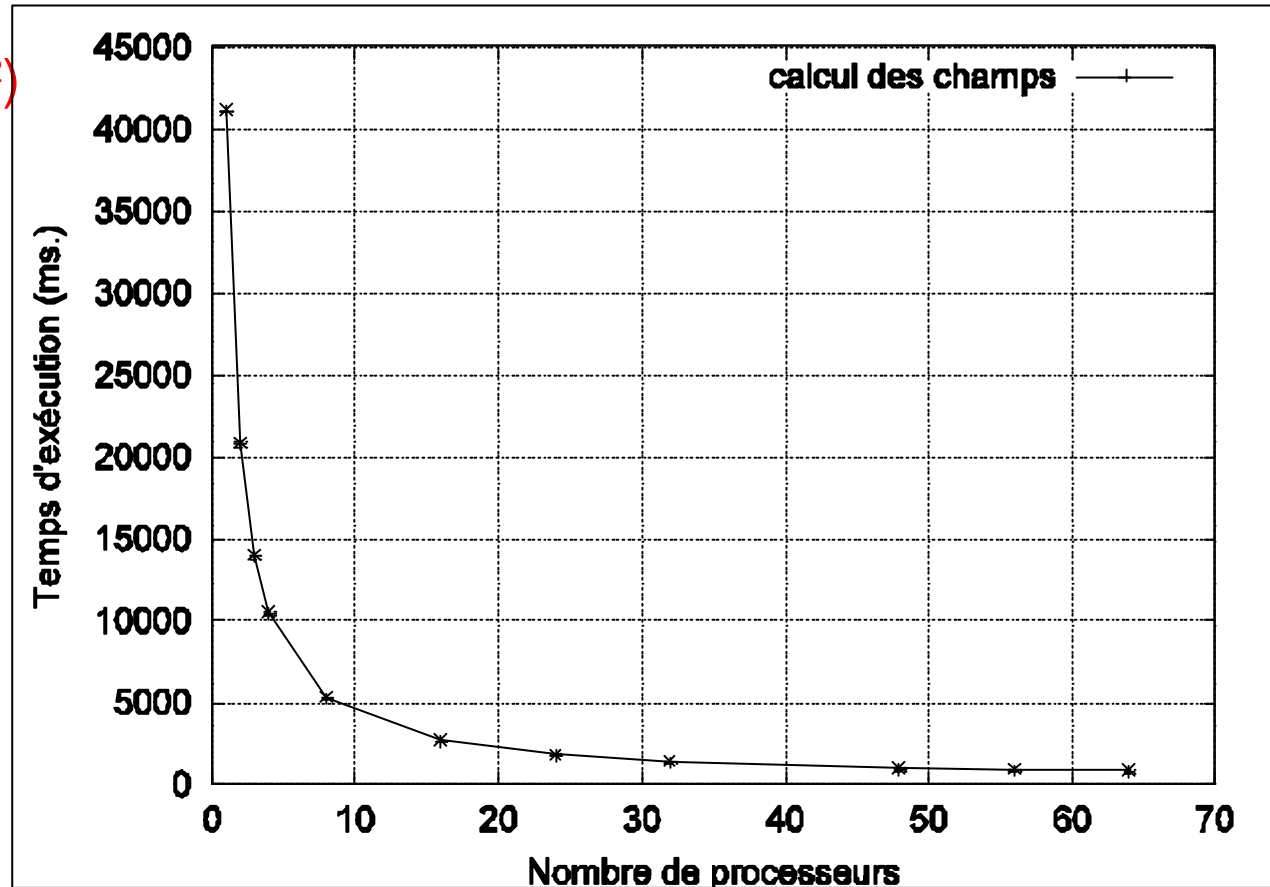
## 2.1 Vision : performances (1/3)

Mémoire :  $O(N(2r_v+1)^2)$

Temps :

1. allocations mémoire
2. calcul des champs

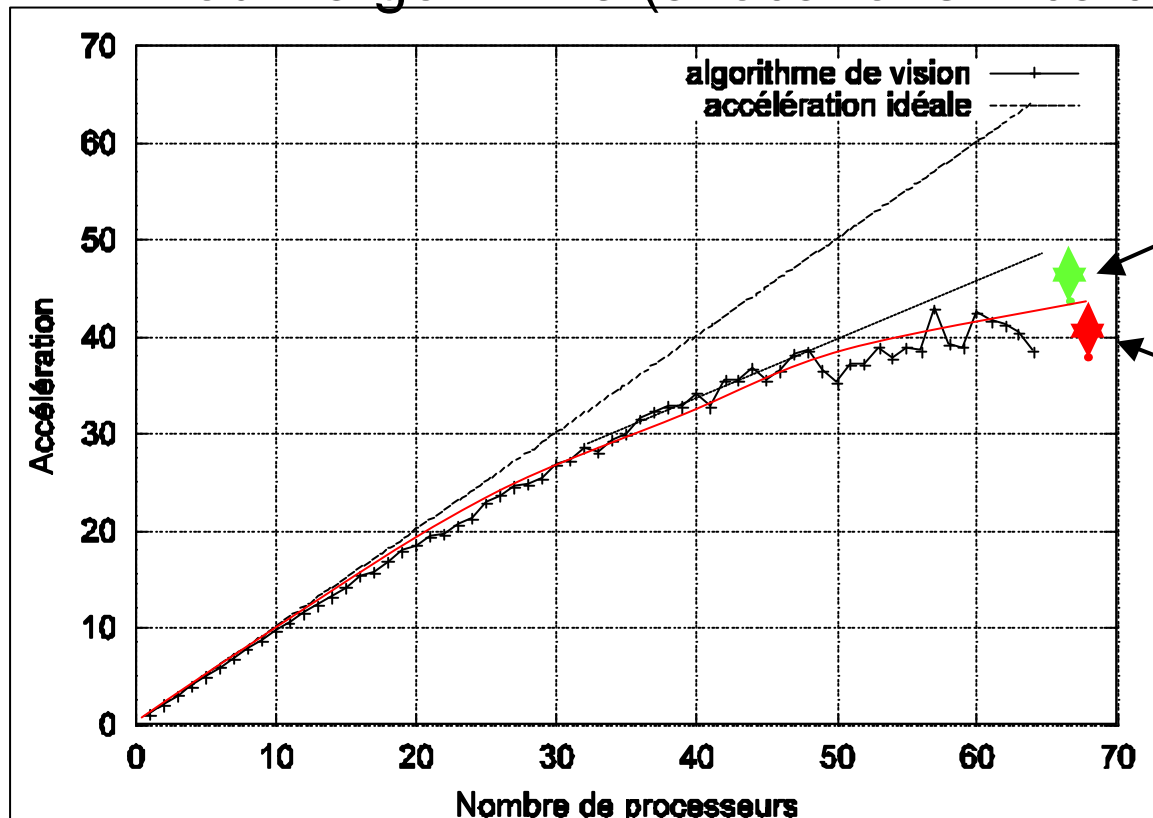
Temps d'exécution  
du calcul des champs



**1 sec.** sur 64 processeurs, O2K, 512x512 cases, rayon de 8

# 2.1 Vision : performances (2/3)

Accélération, utilisant le temps du thread le plus lent  
Tout l'algorithme (allocations + calcul des champs)



Diminution des performances :

- allocations mémoire (100 ms)
- efficacité
- [parallélisme]

Accélération de **39 sur 48 processeurs** (O2K)

Eugen Dedu, 8 mars 2002



# 2.1 Vision : performances (3/3)

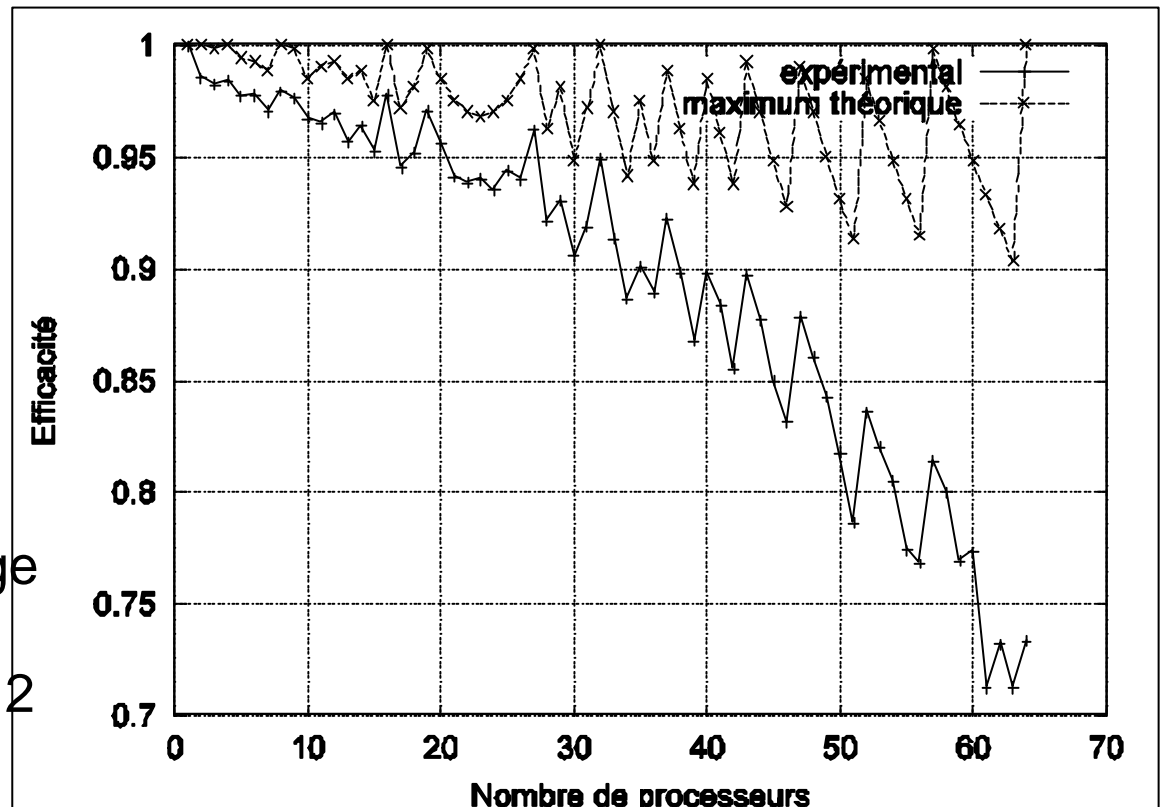
Efficacité du calcul des visibilitéés (courbe en zigzag)

- Zigzag <= déséquilibre de charge
- **Concordance** des extrema locaux entre la courbe **pratique** de performances et la courbe **théorique** de déséquilibre de charge

Qualité d'équilibrage de charge

$Q_{\text{ldbal}} : N^* \rightarrow (0, 1]$

$$Q_{\text{ldbal}} = \begin{cases} 1 & , \text{ si } P \mid 512 \\ \frac{512}{P \times ([512/P] + 1)} & , \text{ sinon} \end{cases}$$



## 2.2 Propagation par vagues : exemple de champ

Utilité :

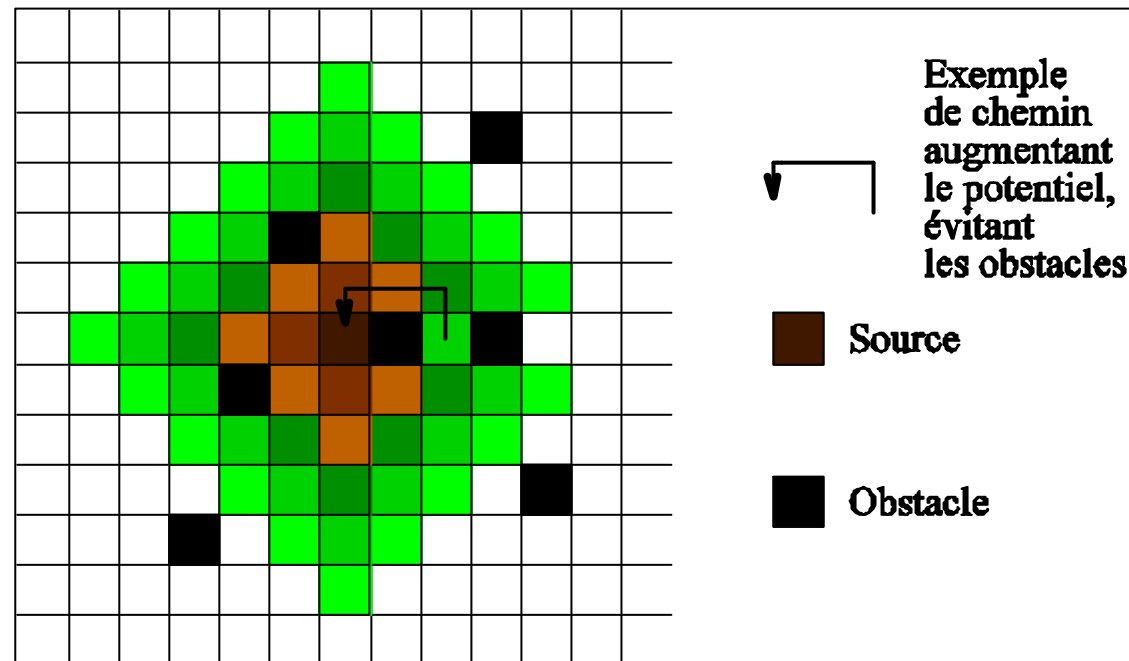
- retrouve le chemin vers la ressource

Raison :

- existence des obstacles

Propriétés :

- contourne les obstacles
- décroît avec la distance
- potentiel de la ressource est une fonction de sa charge en objets
- fonction de superposition de champs



## 2.2 Propagation par vagues : méthodes séquentielles

### Récursion (en largeur)

**pour** chaque ressource  
propage-la récursivement

				1					
			1	2	1				
		1	2	3	2	1			
	1	2	3	4	3	2	1		
		1	2	3	2	1			
			1	2	1				
				1					

### Itérative

met potential des ressources

**répéter**

**pour** chaque case

$$p = \max p_i - 1$$

**jusqu'à** pas de modification

				1					
			1	2	1				
		1	2	●	2	1			
	1	2	●	4	●	2	1		
		1	2	●	2	1			
			1	2	1				
				1					

balayage

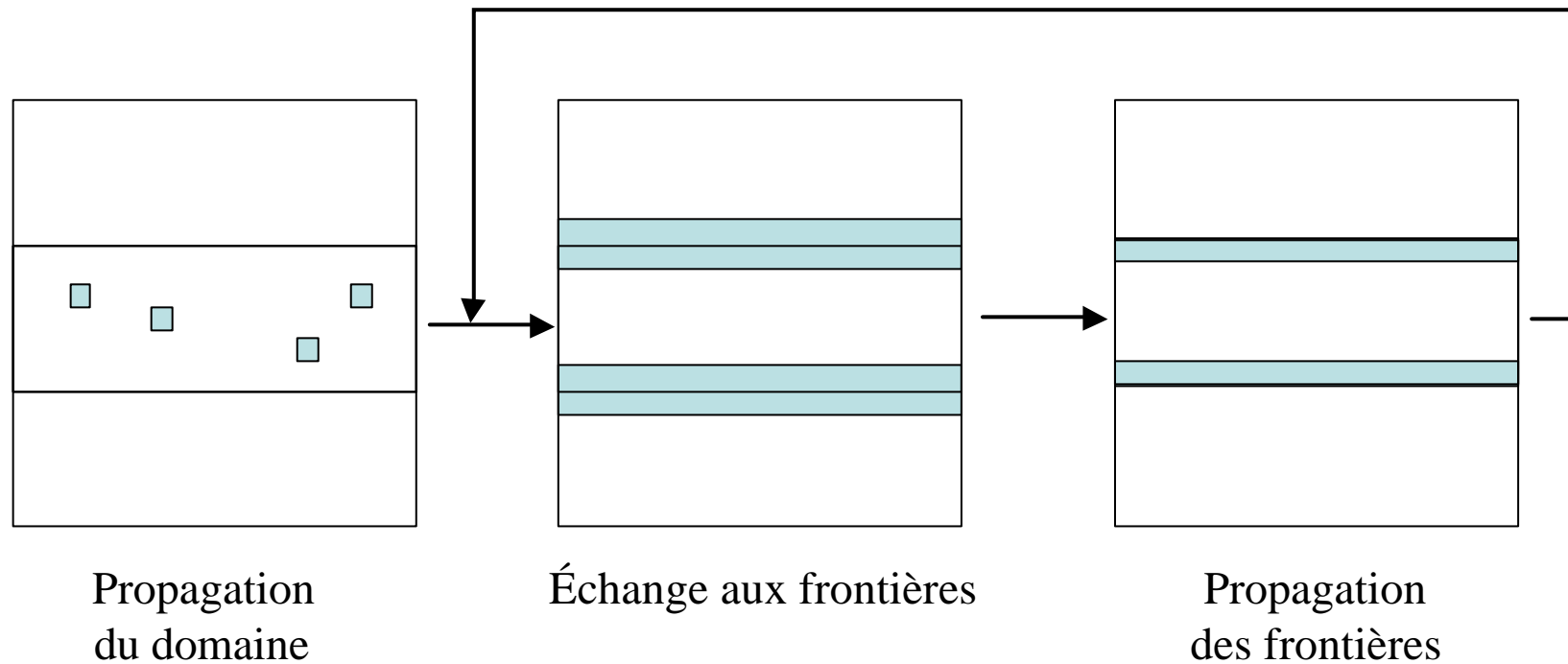
haut-bas

balayage

bas-haut

## 2.2 Propagation par vagues : méthodes parallèles (1/2)

Méthode de décomposition fixe du domaine

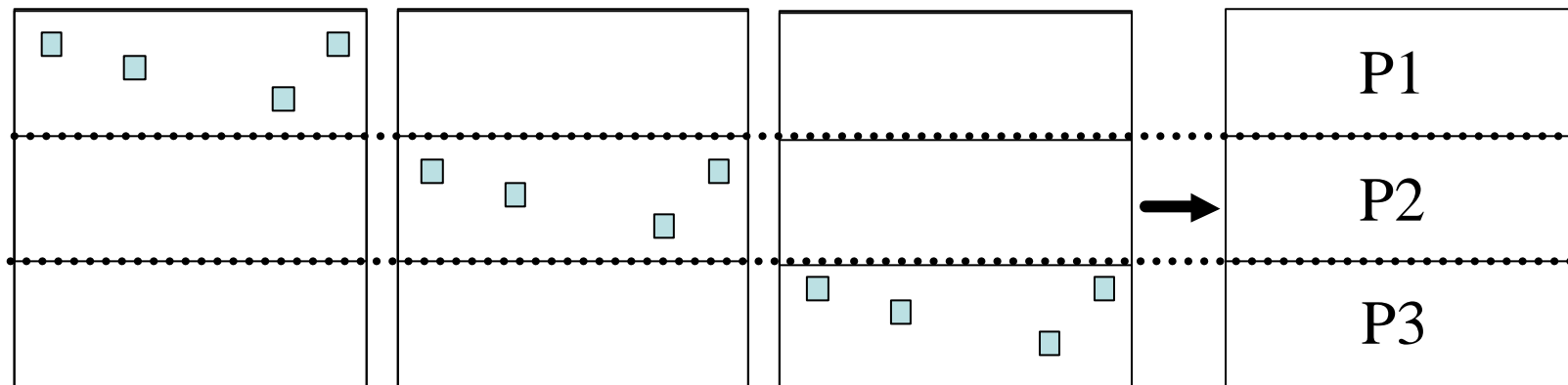


Avantage : peu de transferts de données

Inconvénient : **plusieurs repropagations**

## 2.2 Propagation par vagues : méthodes parallèles (2/2)

Méthode des environnements privés



Avantage : évite les repropagations

Inconvénients : défauts de cache  
plus de mémoire

## 2.2 Propagation par vagues : performances (1/3)

Temps d'exécution des méthodes séquentielles

Paramètre \ Méthode	Réursive	Itérative
Taille environnement	+++	+++
Connectivité (4/8)	+++	+
Nombre de ressources	++	=
Potentiel des ressources	++	=
Nombre des obstacles	=	++

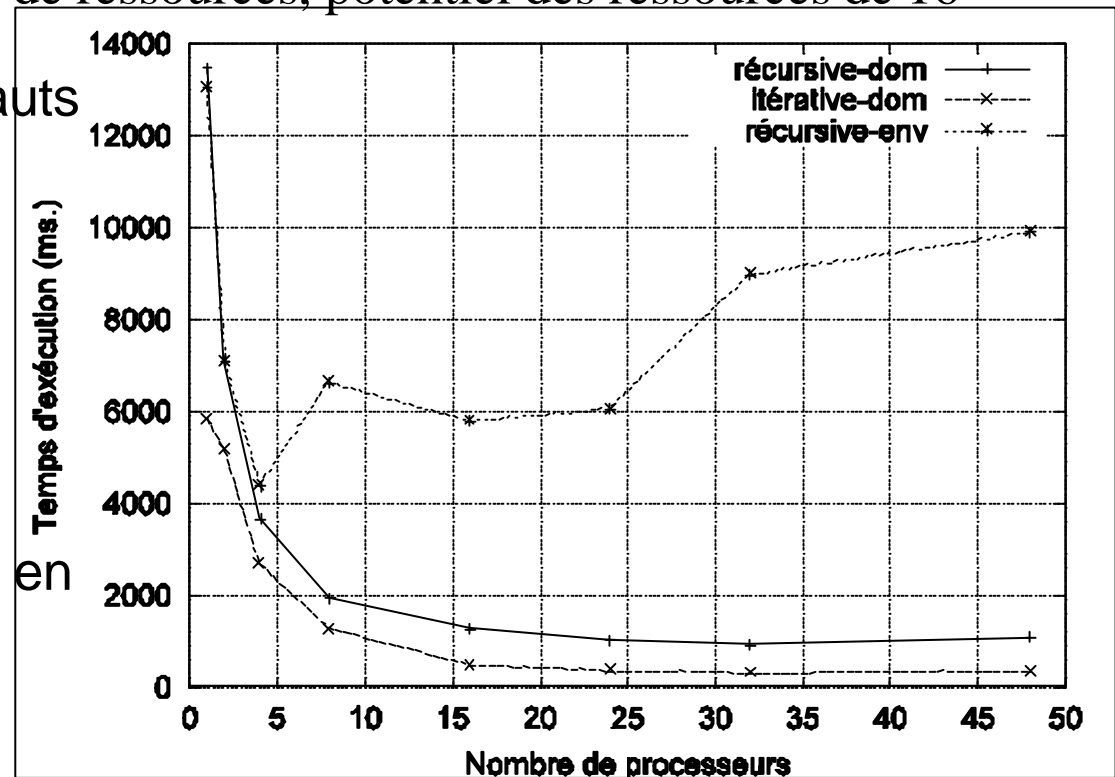
- Performances égales sur O2K :
  - connectivité de 4
  - sans obstacles
  - 1,1-1,45 ressources / case

## 2.2 Propagation par vagues : performances (2/3)

### Performances des méthodes parallèles

1024x1024, sans obstacles, 1 % de ressources, potentiel des ressources de 16

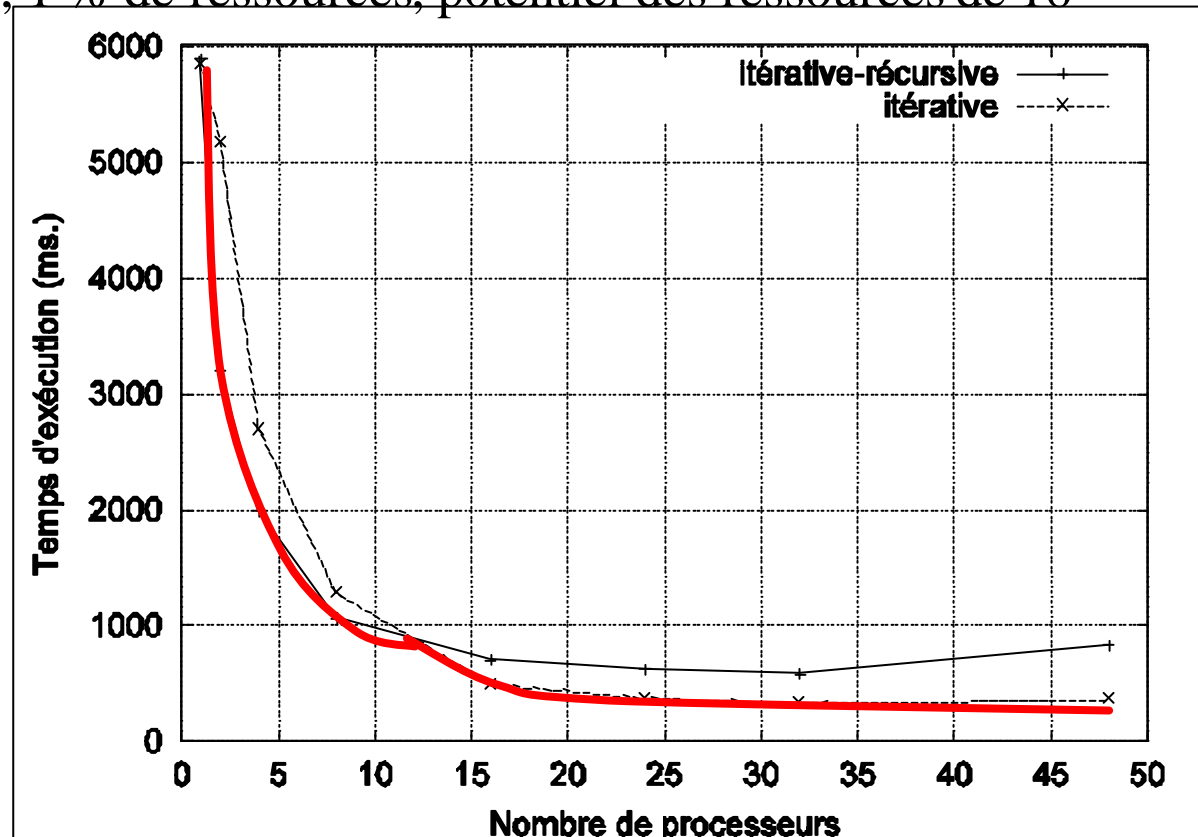
- Environnements privés : défauts de cache => élimination
- Temps séquentiels :
  - réursion : 13,5 sec.
  - itérative : 6 sec.
  - **$T_{is} < T_{rs}$**
- Temps parallèles :
  - **$T_i < T_r$**
- Idée : séparer la propagation en propagation du domaine et propagation des frontières :
  - $T_r = T_{sr} + T_{pr}$
  - $T_i = T_{si} + T_{pi}$
  - **$T_m = T_{si} + T_{pr}$**



## 2.2 Propagation par vagues : performances (3/3)

Performances des deux meilleures méthodes parallèles  
1024x1024, sans obstacles, 1 % de ressources, potentiel des ressources de 16

- Itérative
- Combinaison :
  - propagation du domaine : itérative
  - propagation des frontières : récursive



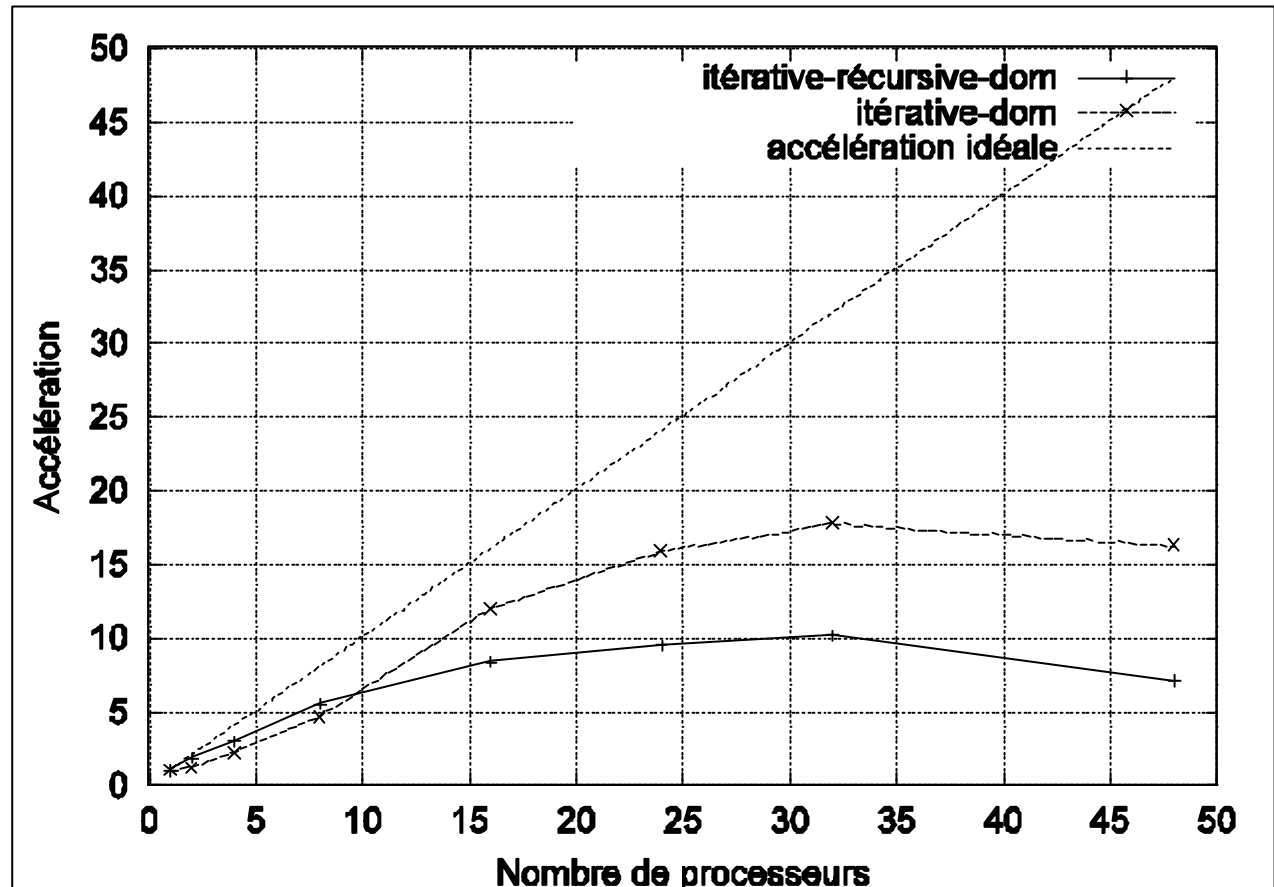


## 2.2 Propagation par vagues : conclusions

Meilleure méthode :

- propagation du domaine :
  - itérative
- propagation des frontières :
  - P petit : itérative
  - P grand : réursive

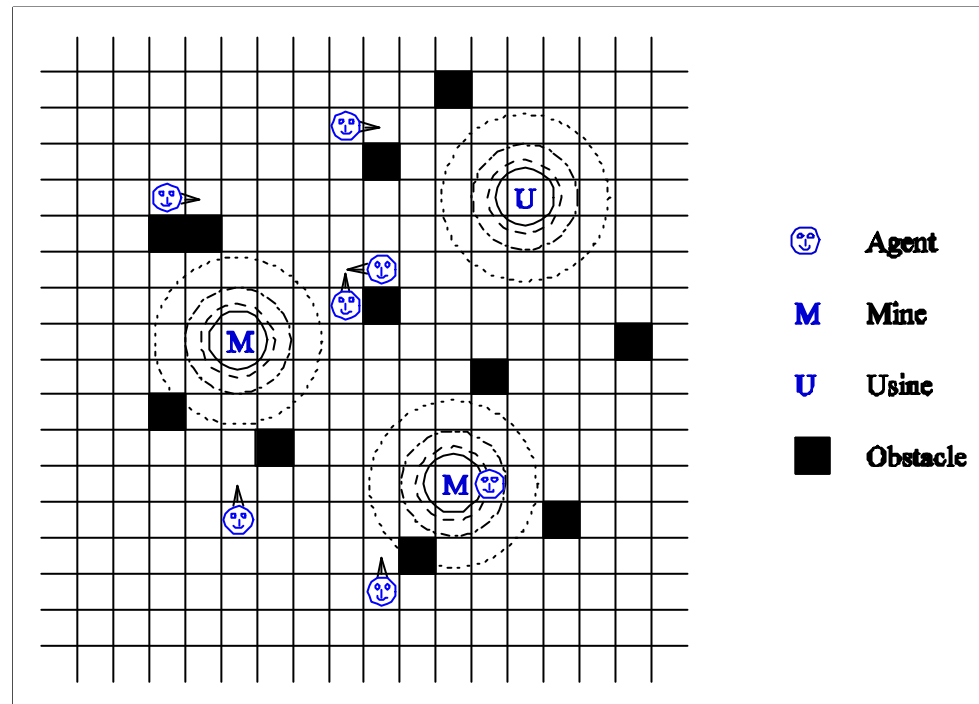
Accélération  
(même T<sub>seq</sub>) (O2K)



=> Propagation inexacte des potentiels => travaux futurs

# 3. Implantation du modèle : utilisation

- Étapes pour écrire une application :
  - initialisation de l'environnement
  - fonction utilisateur
  - ressources :
    - charge => potentiel
  - comportements des agents



# 3. Implantation du modèle : exemple d'application

Trafic de consommateurs dans une ville saturée

Ville de 256x256 cases :

- région résidentielle
- région désertique
- région de magasins

327 bâtiments (0,5 %)

163 magasins (0,25 %)

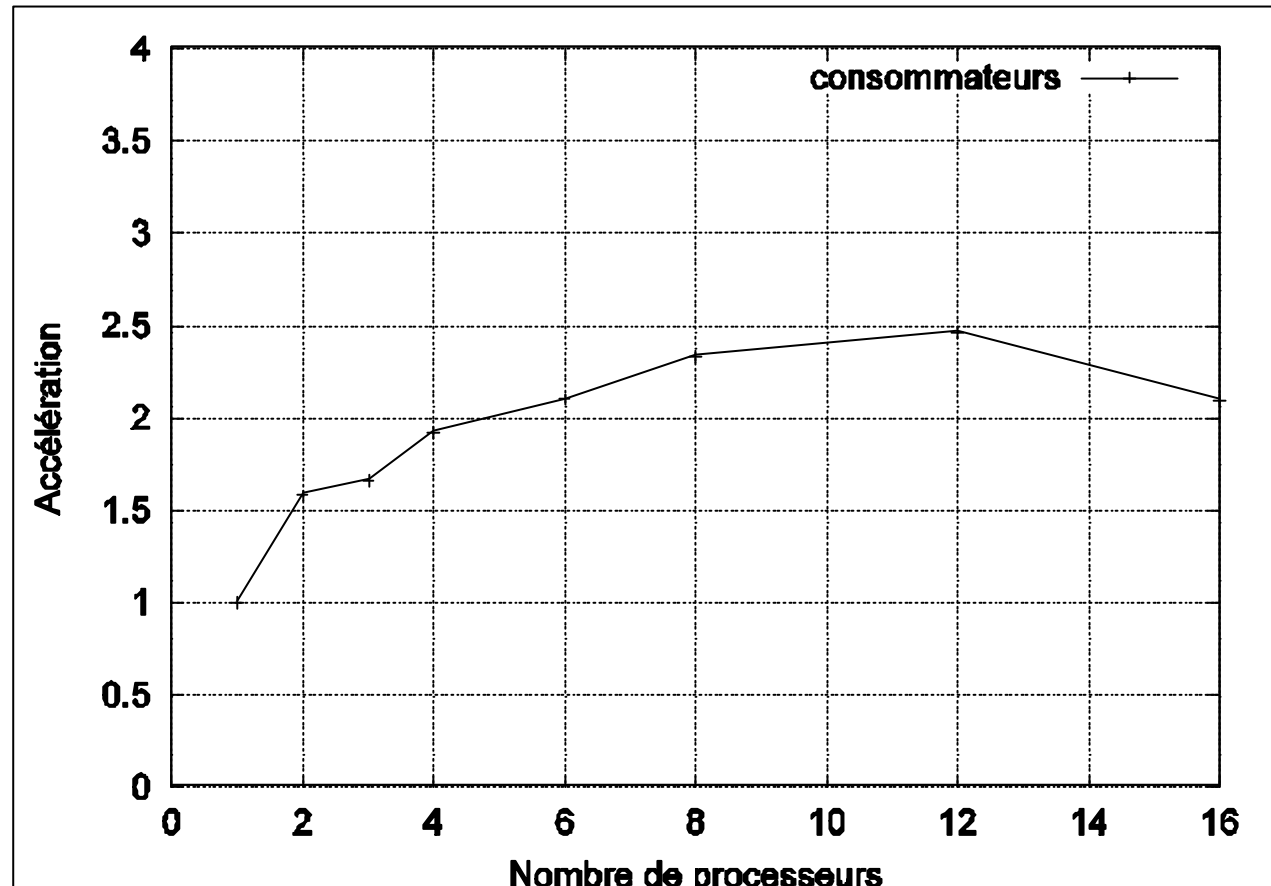
655 maisons (1 %)

655 personnes (1 %) :

- 20 % hommes
- 80 % femmes

Tséq = 55 sec.

O2K



# Bilan de la thèse

- Contributions
  - Modèle de simulation de SMA
  - Algorithmique parallèle des percepts des agents :
    - vision
    - propagation des potentiels
  - Implantation parallèle du modèle
    - bonnes performances pour les percepts et les applications
- Travaux futurs
  - Extension du modèle
  - Optimisation des algorithmes
    - équilibrage dynamique de charge
  - Extension de l'environnement de programmation
  - Utilisation